

FIG. 1A

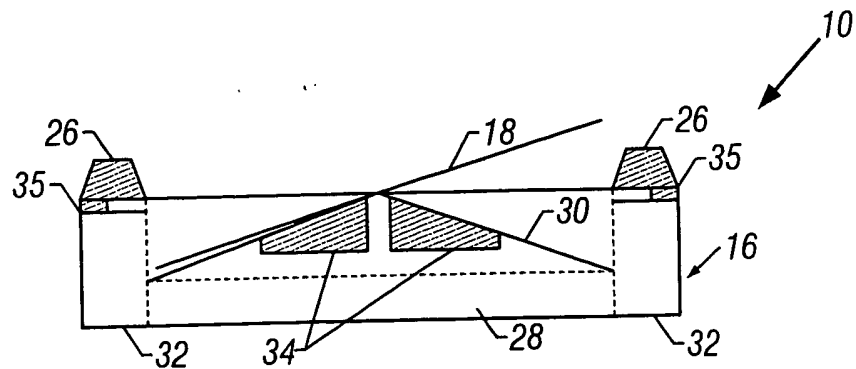


FIG. 1B

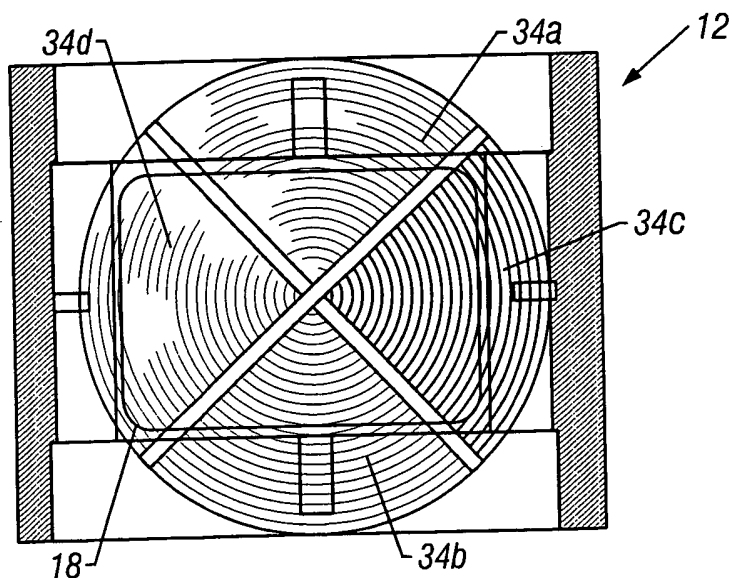


FIG. 2

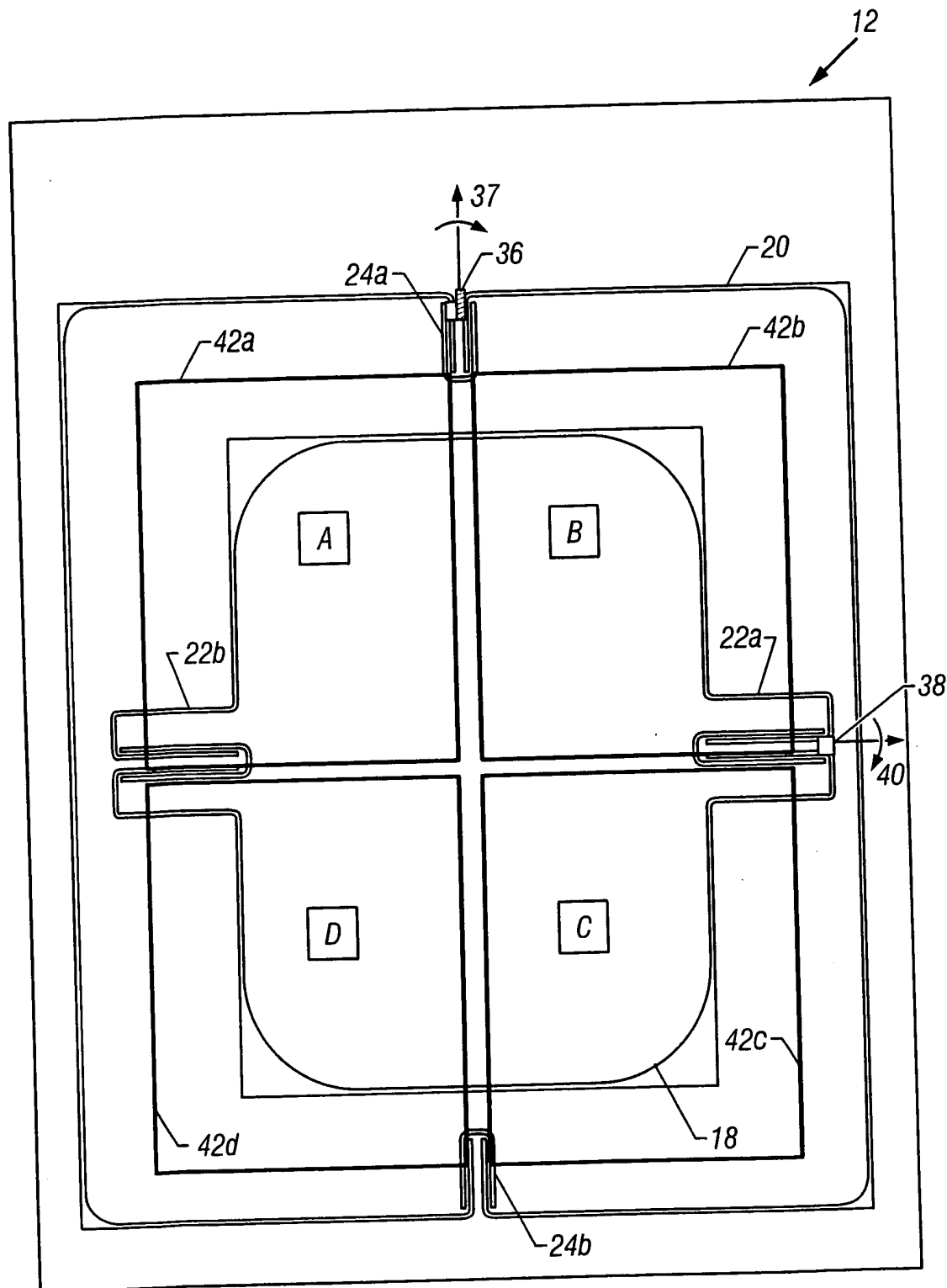


FIG. 3A

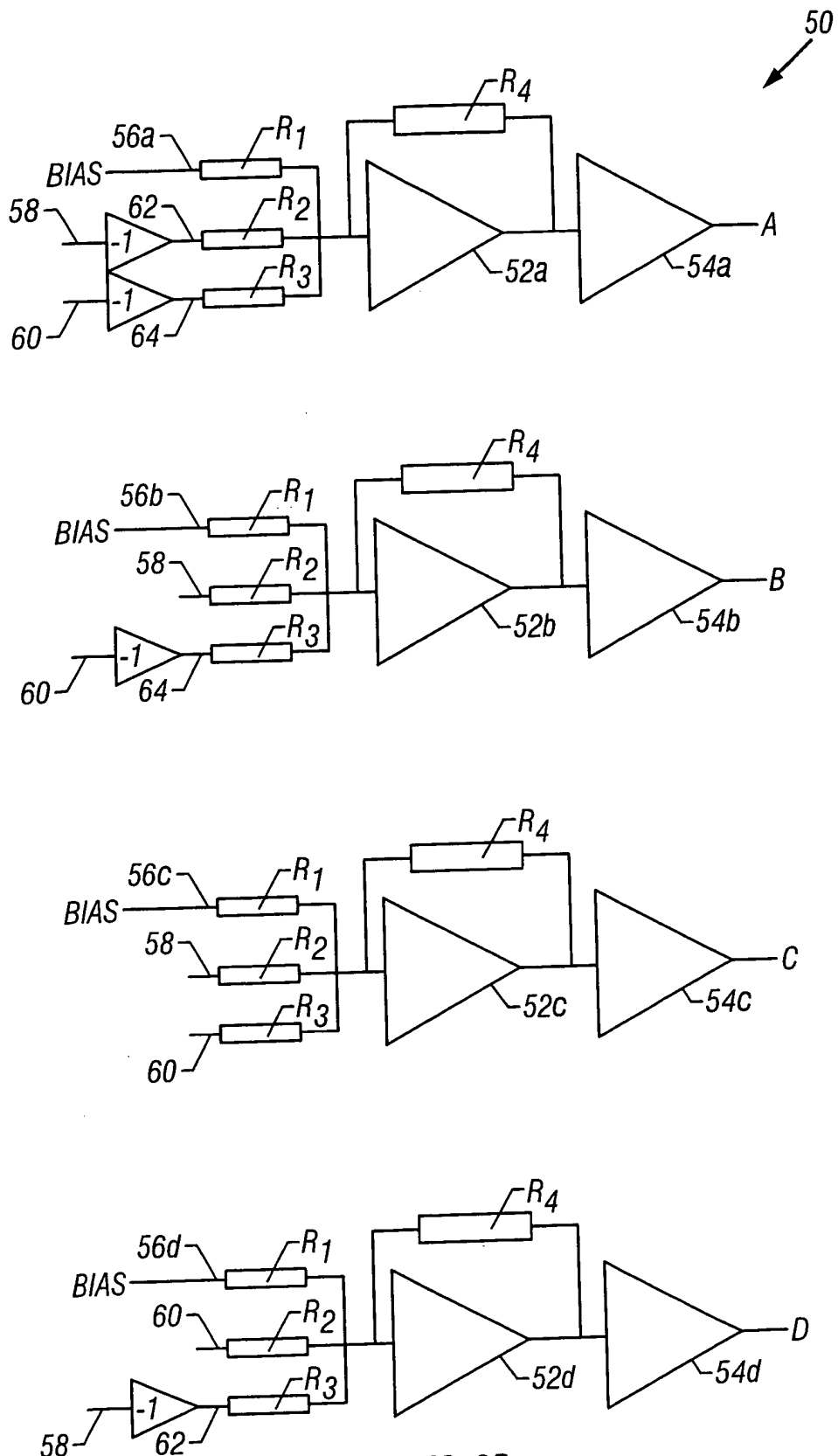


FIG. 3B

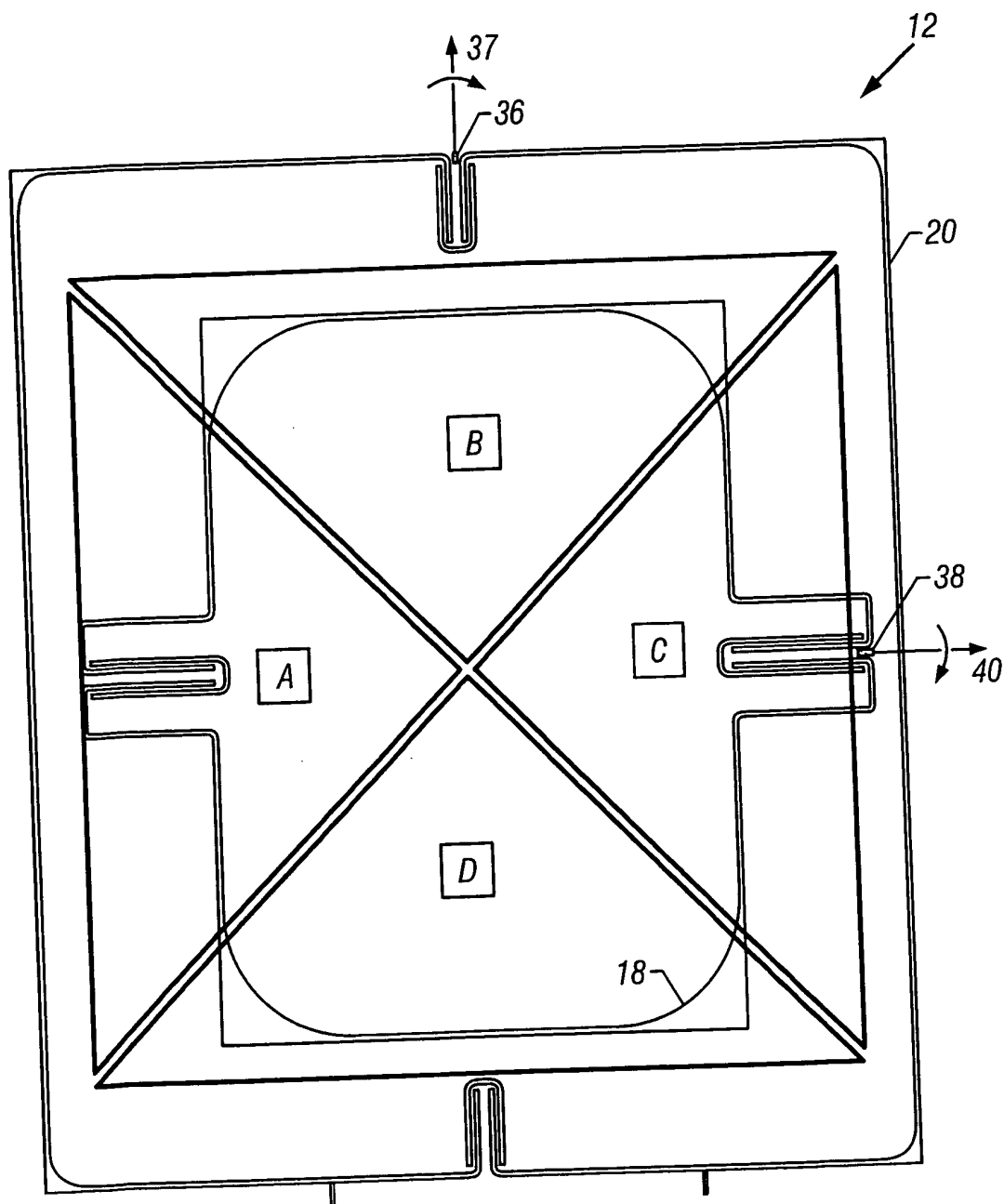


FIG. 3C

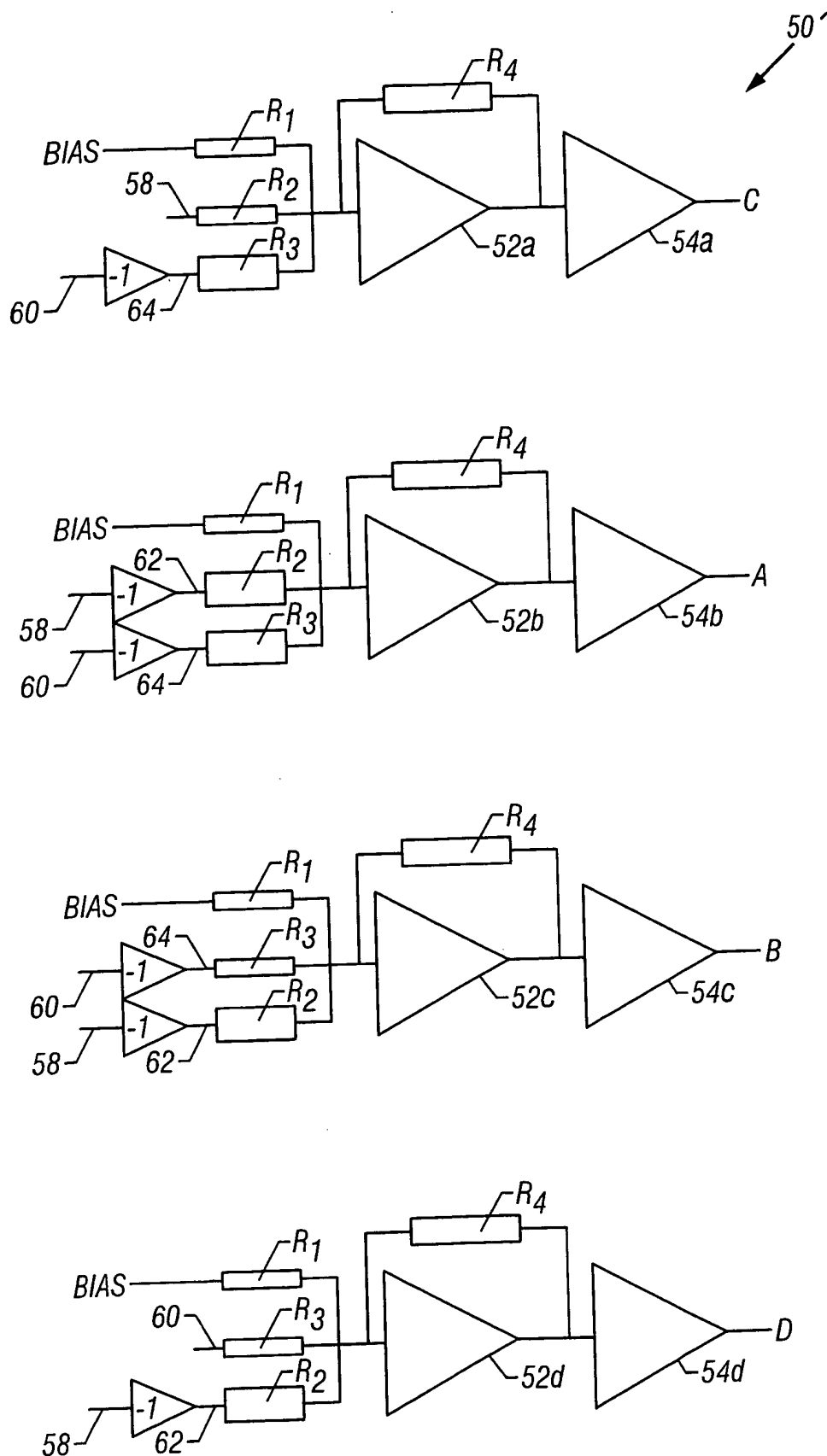


FIG. 3D

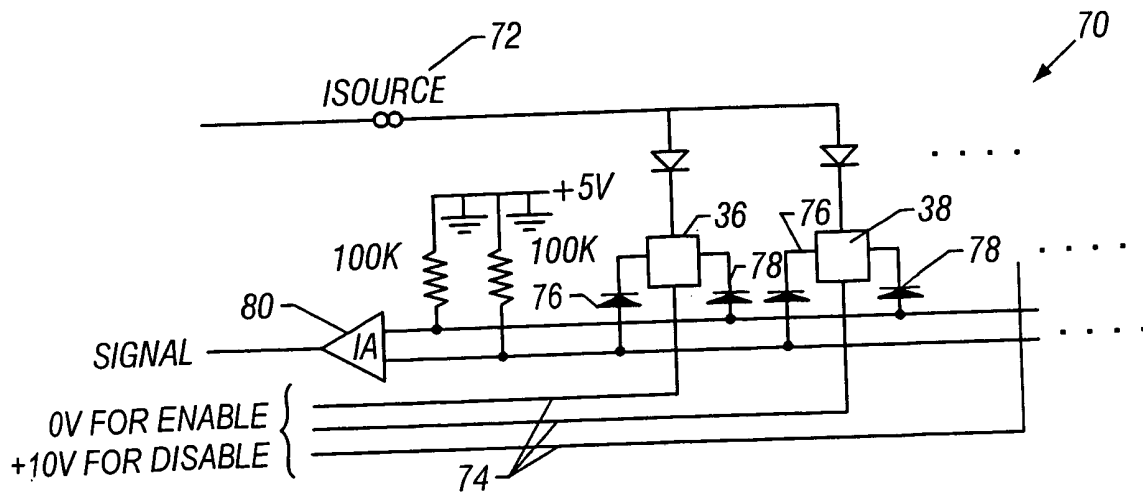


FIG. 4A

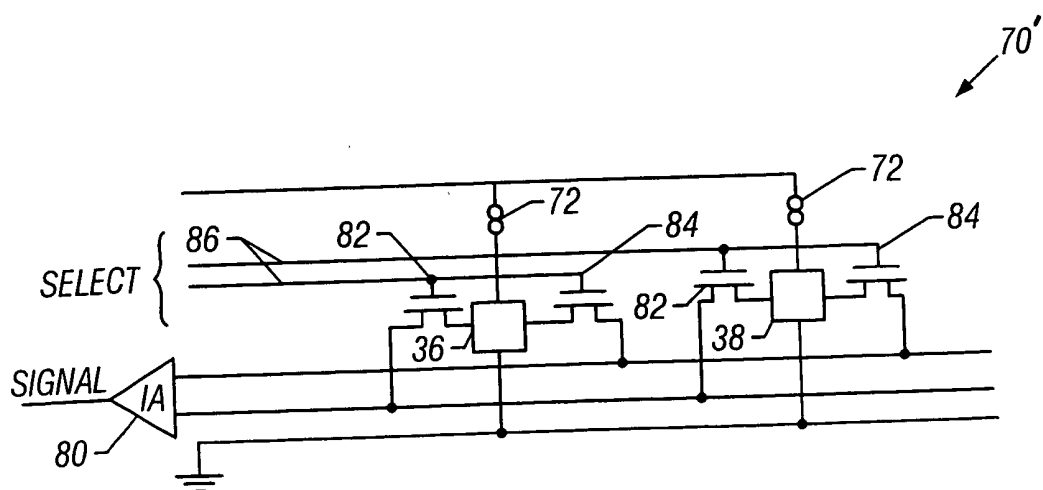


FIG. 4B

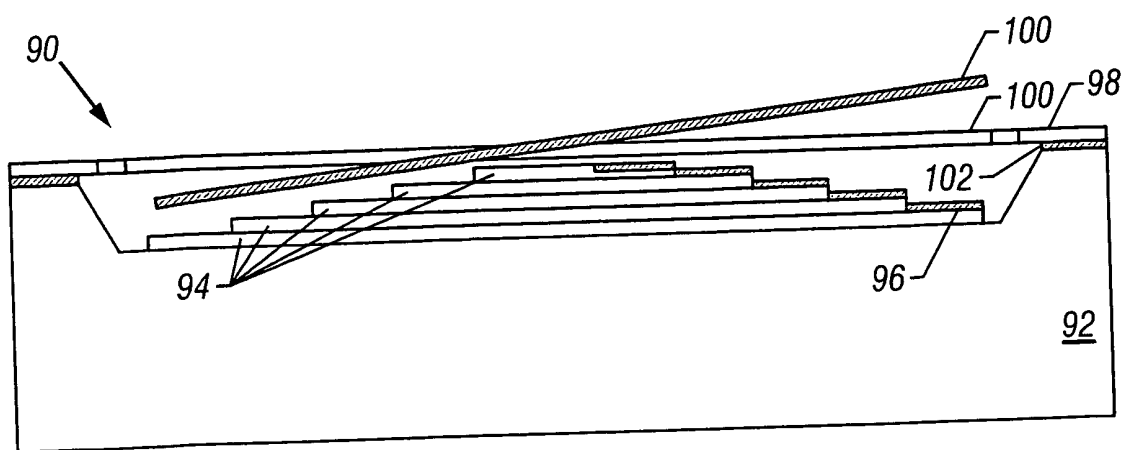


FIG. 5A

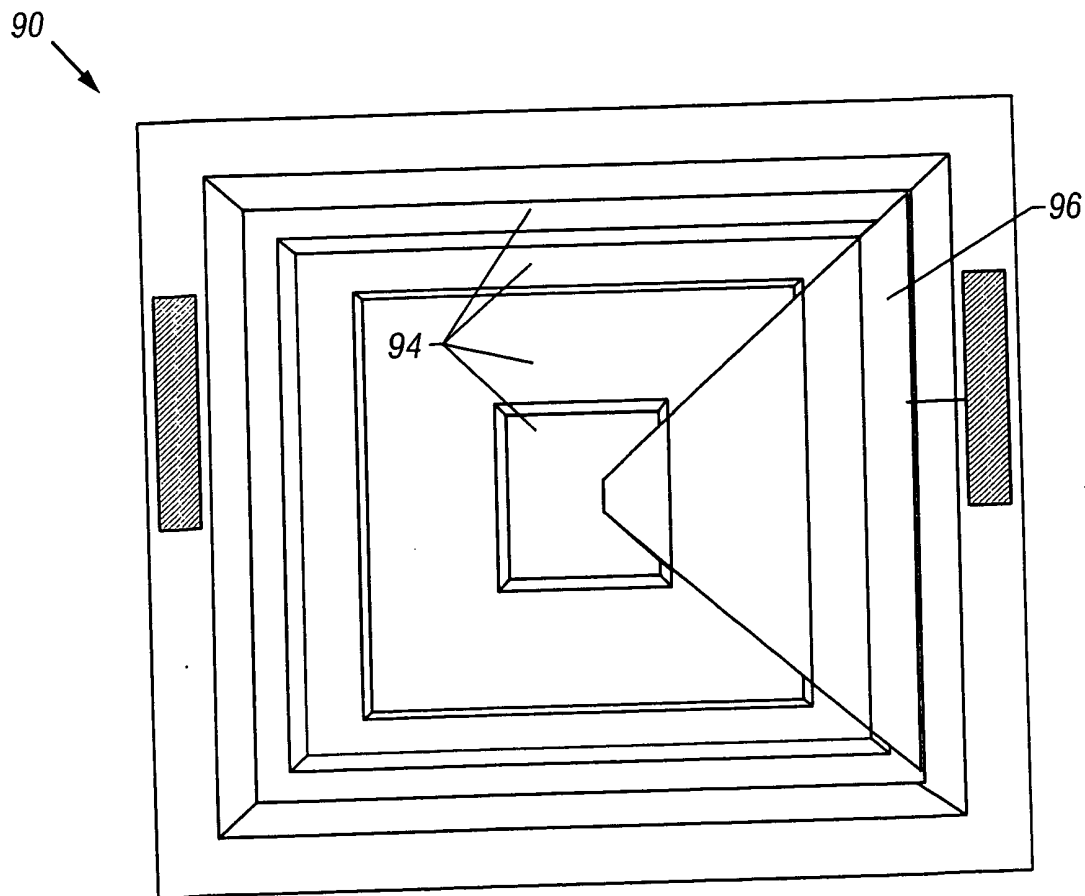


FIG. 5B

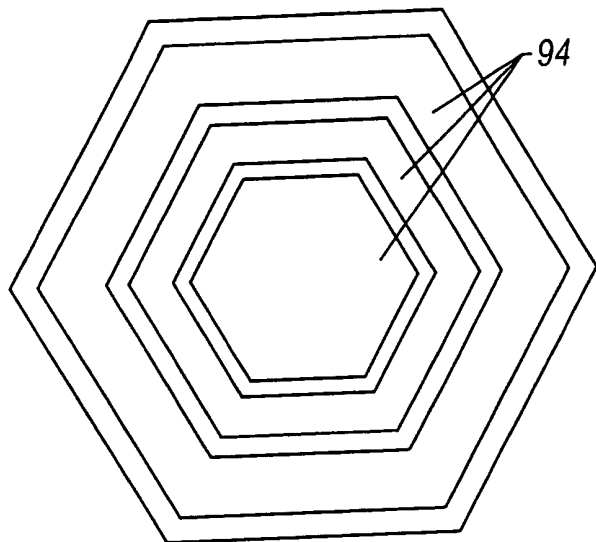


FIG. 6A

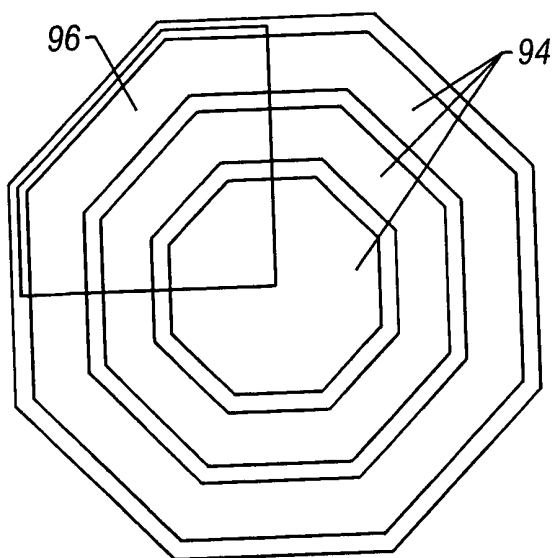


FIG. 6B

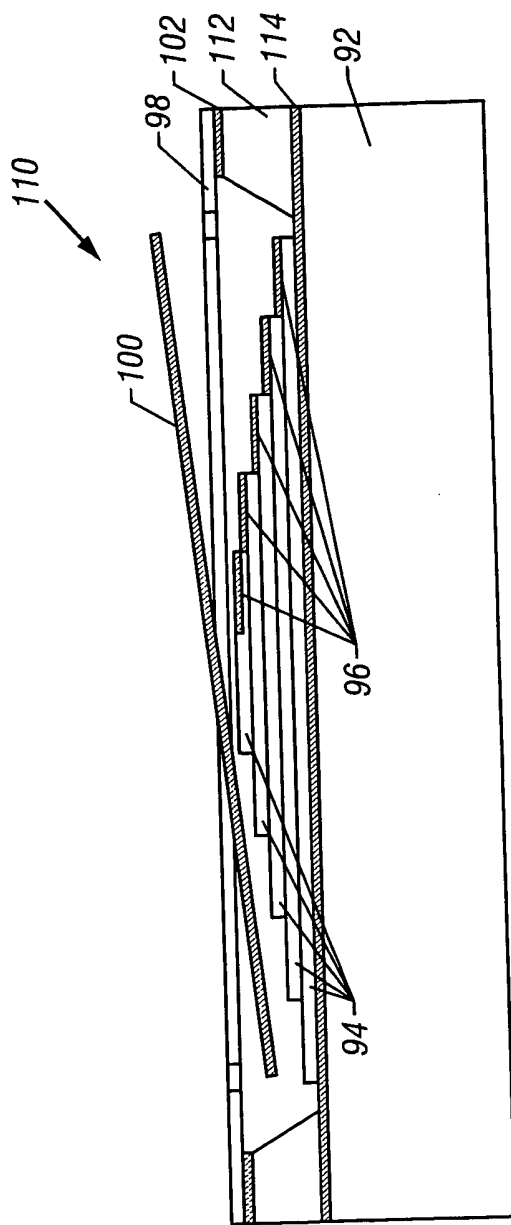


FIG. 7

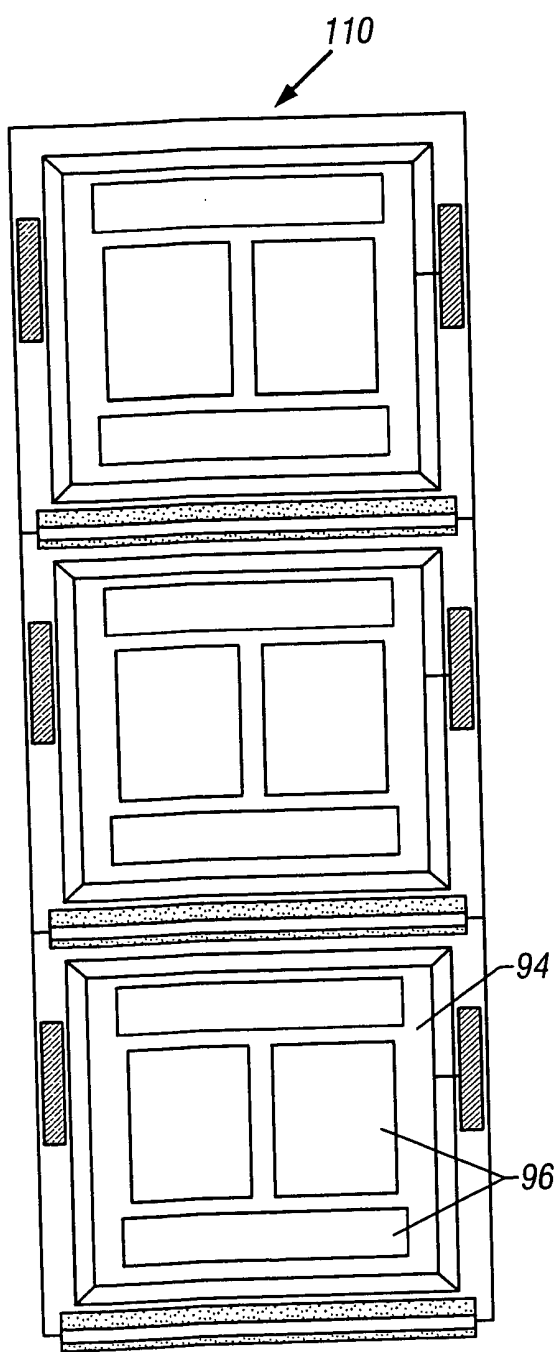


FIG. 8A

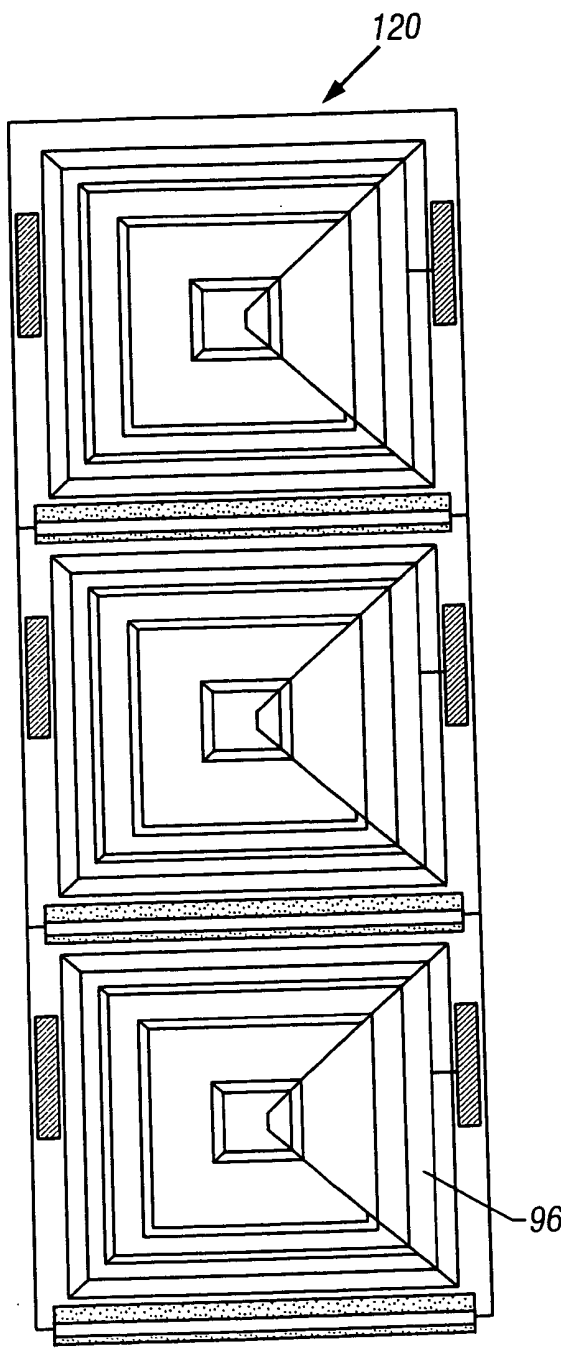


FIG. 8B

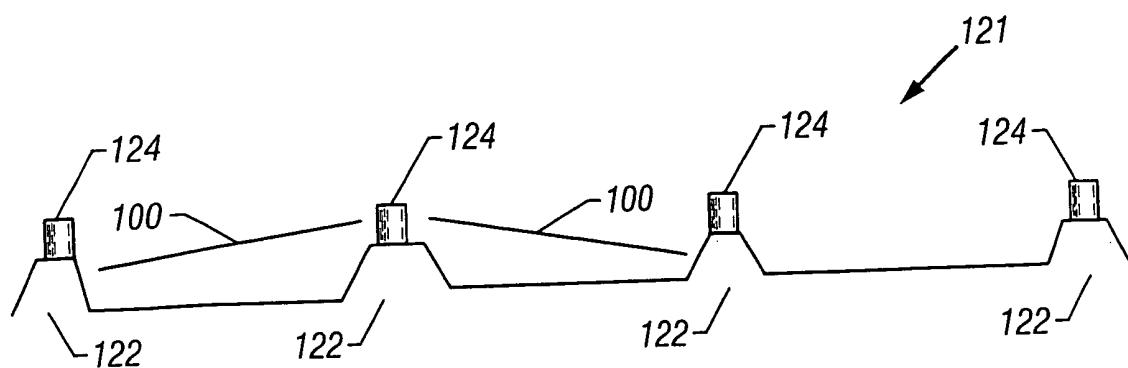


FIG. 8C

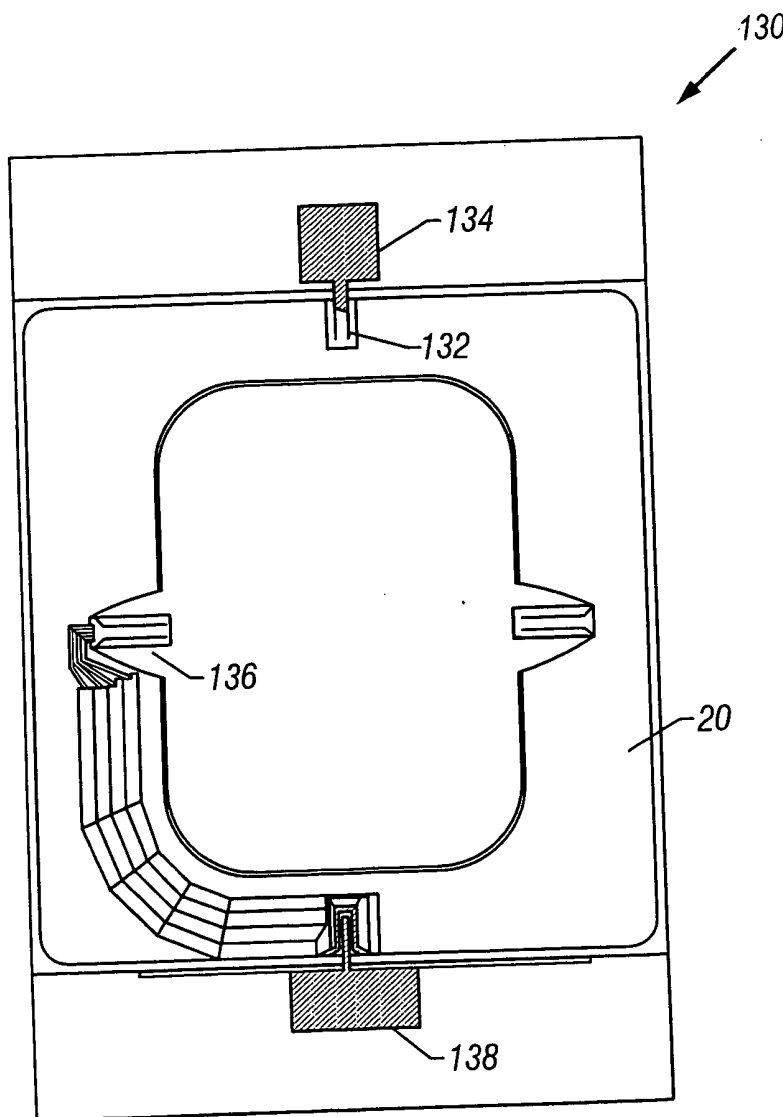


FIG. 9

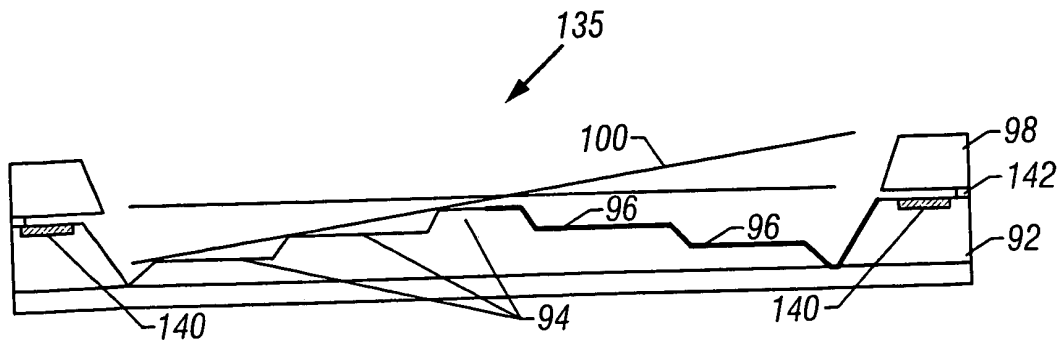


FIG. 10A

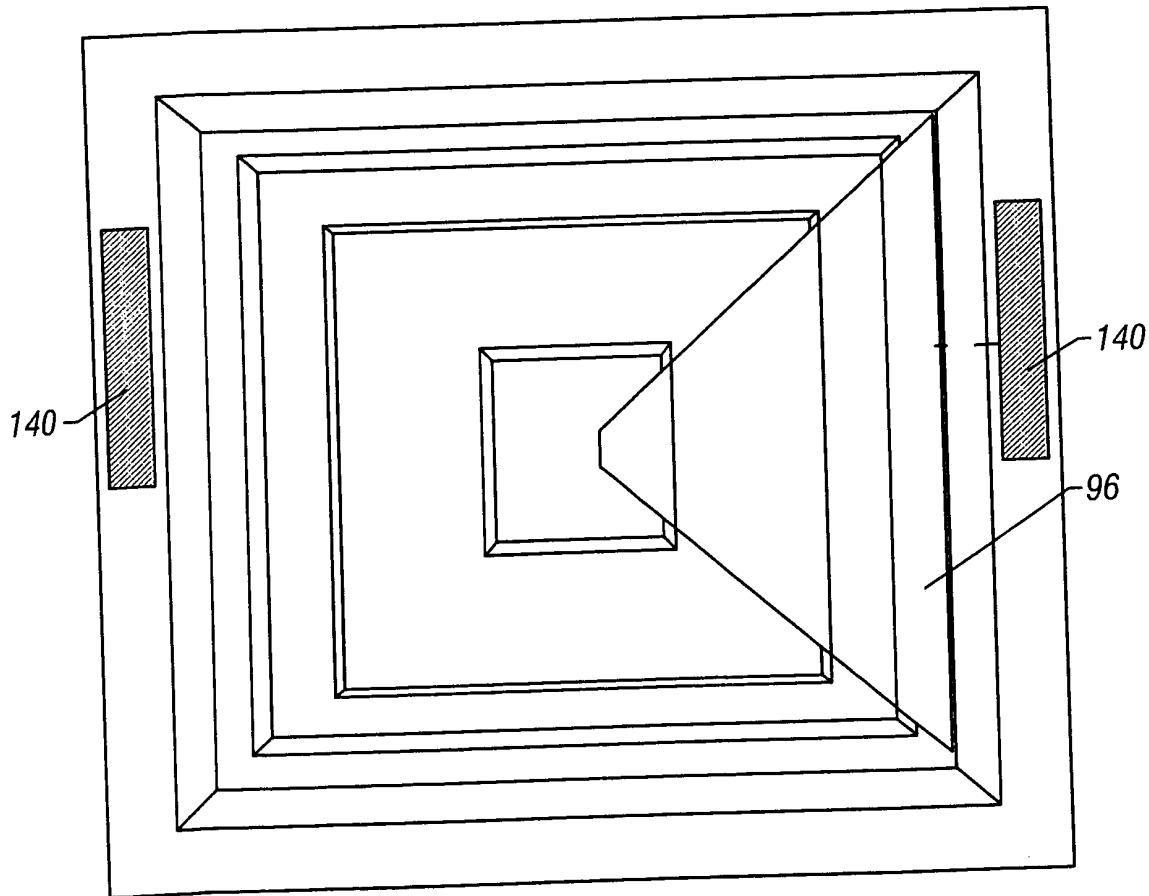


FIG. 10B

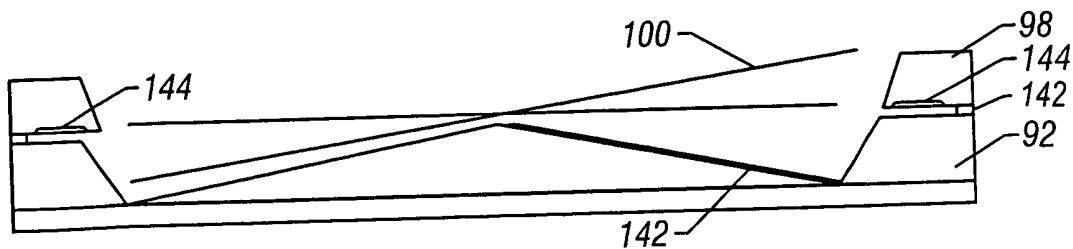


FIG. 11A

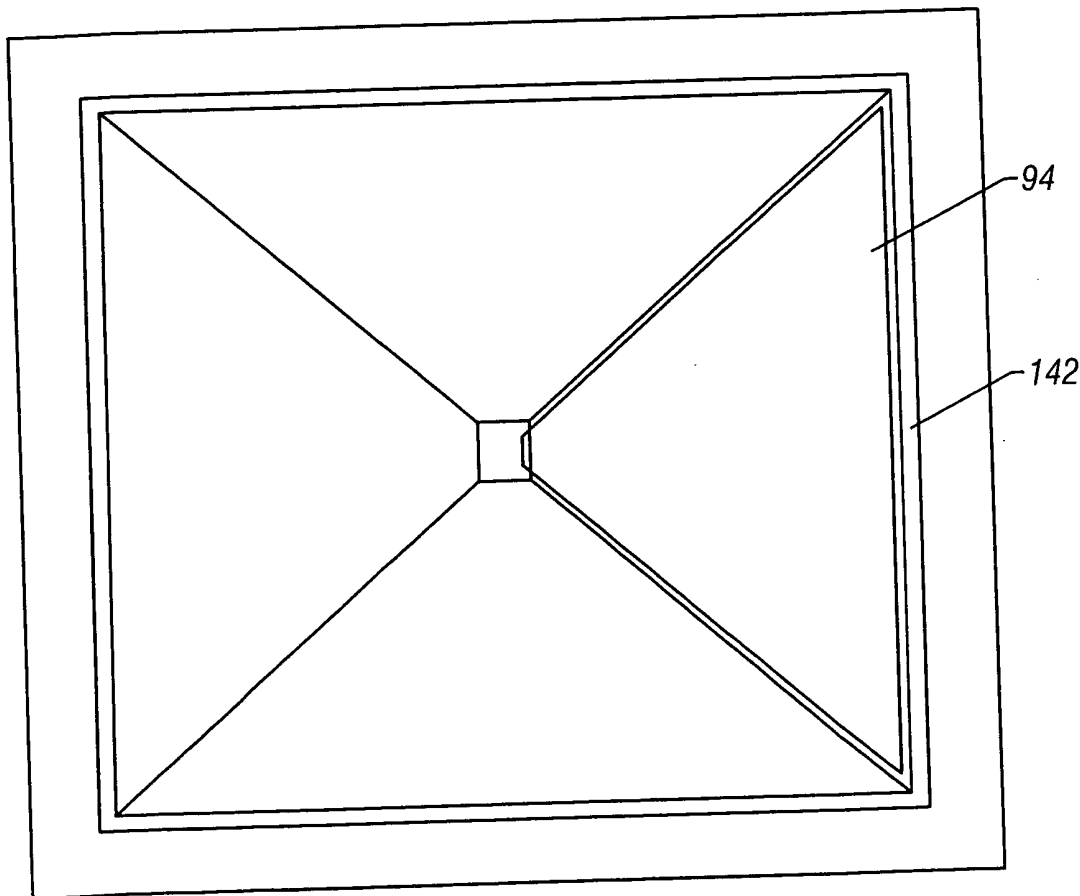
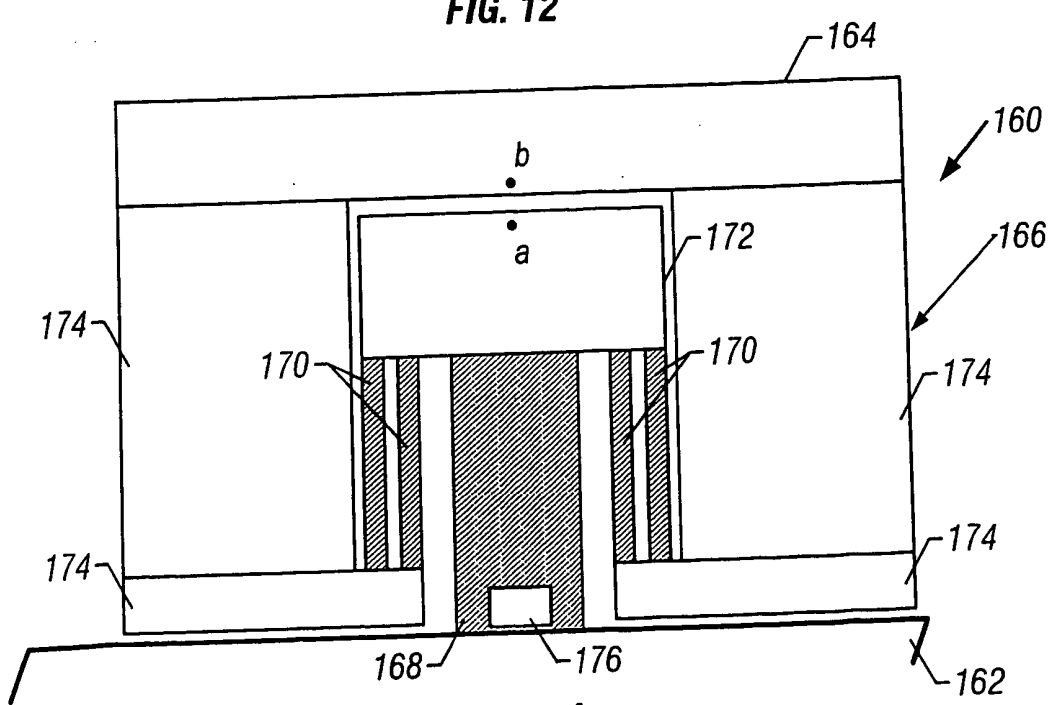
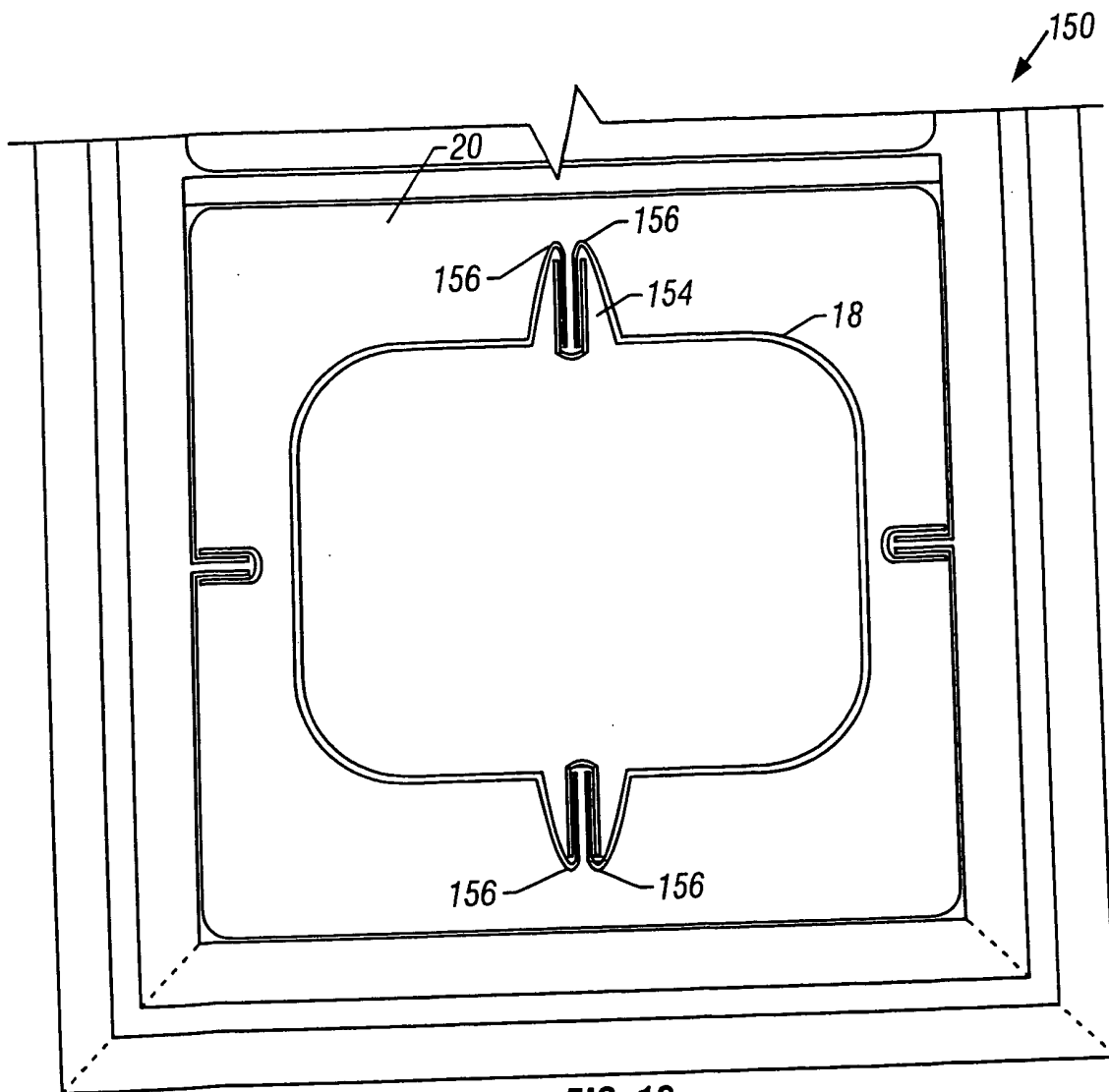


FIG. 11B



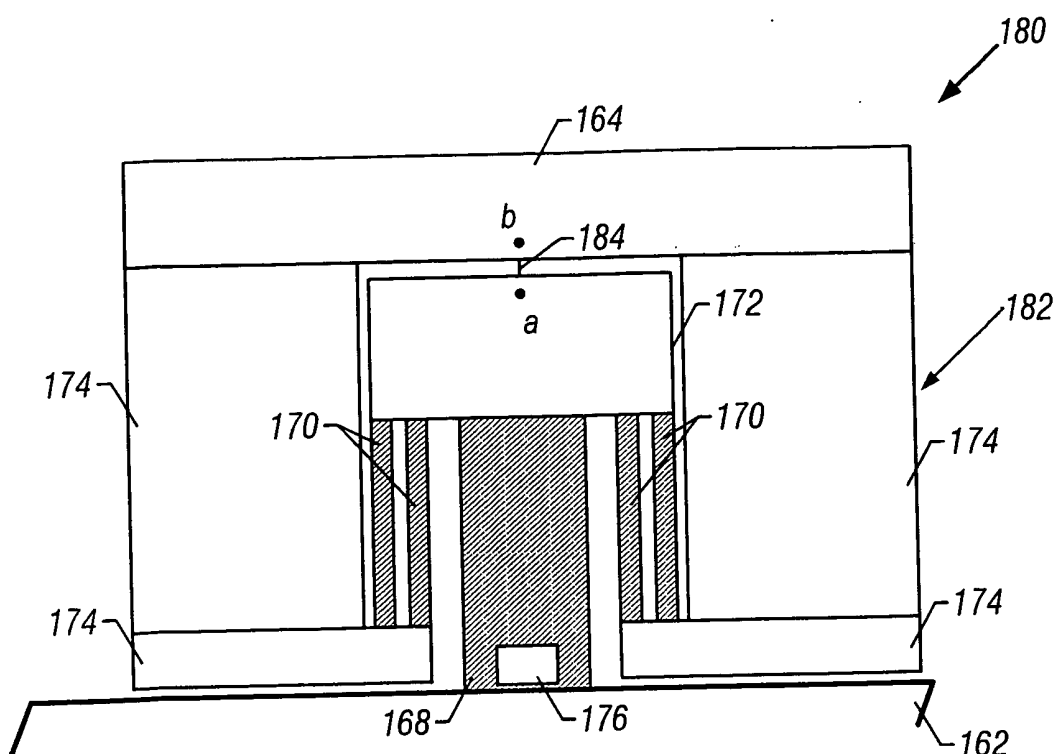


FIG. 13B

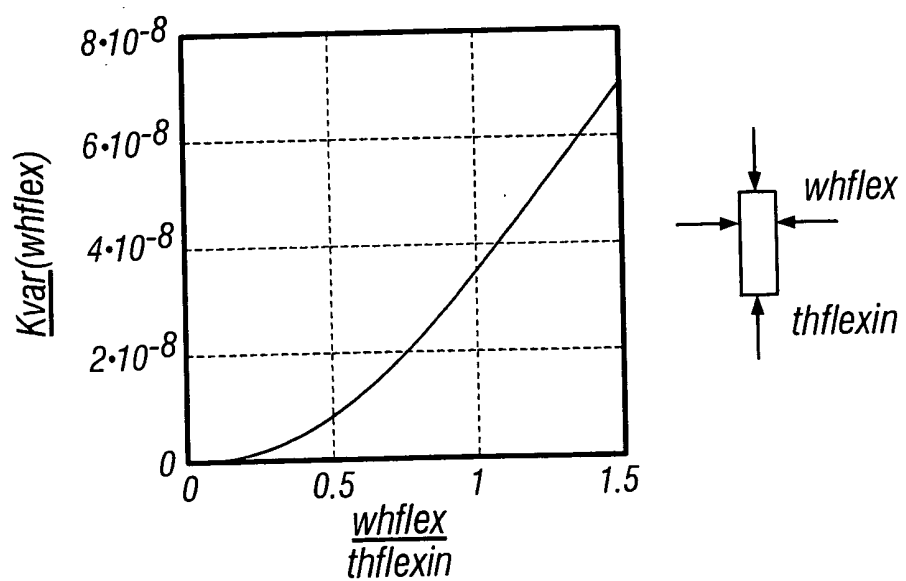


FIG. 14A

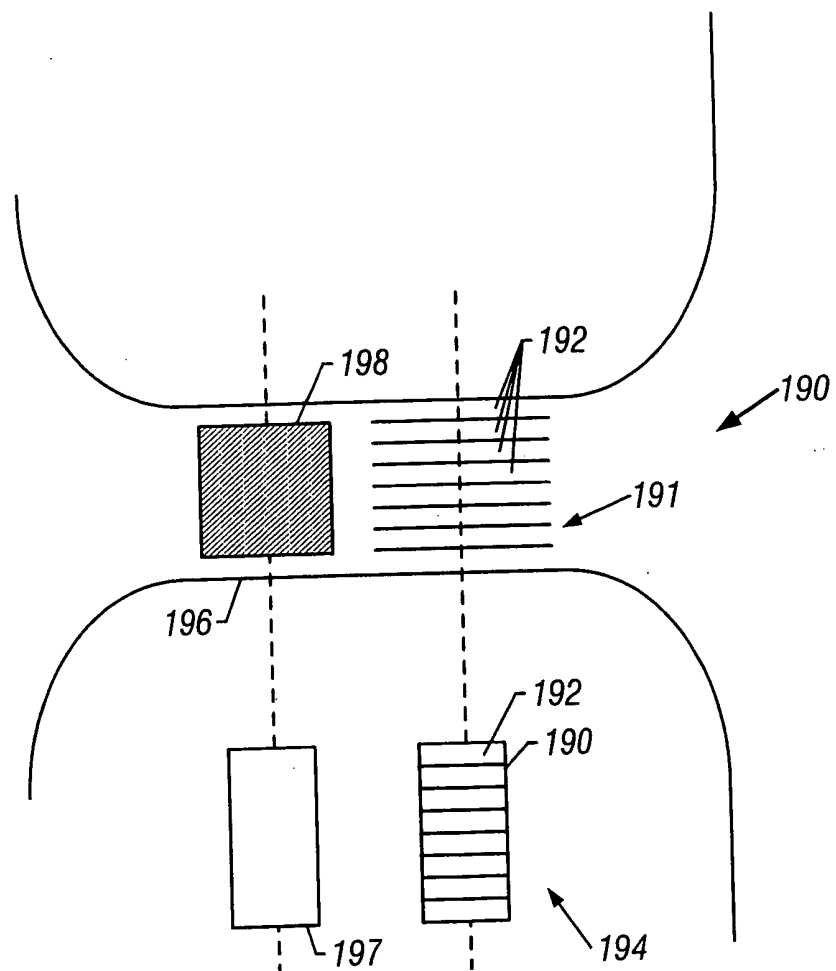


FIG. 14B

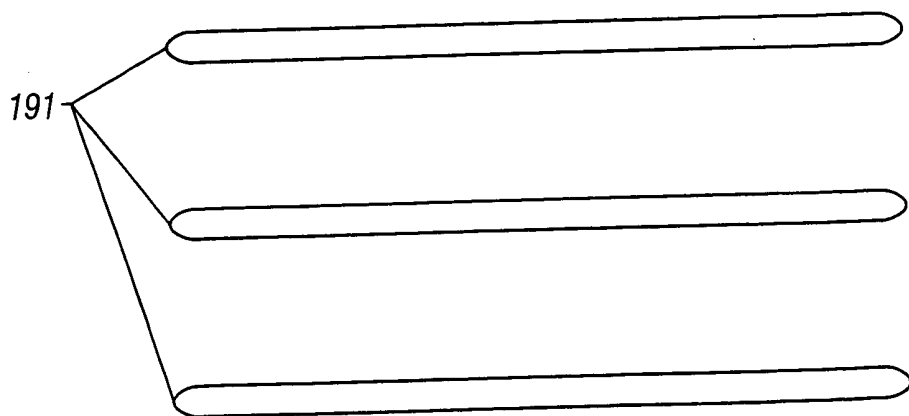


FIG. 14C

Appl. No.: Not Yet Assigned
Applicant(s): Armand P. Neukermans et al.
TWO-DIMENSIONAL MICRO-MIRROR ARRAY
ENHANCEMENTS

FIG. 15A

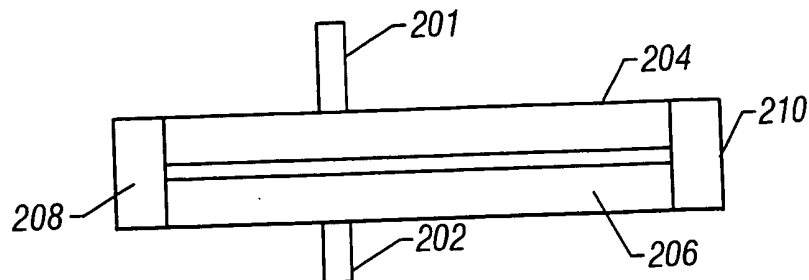


FIG. 15B

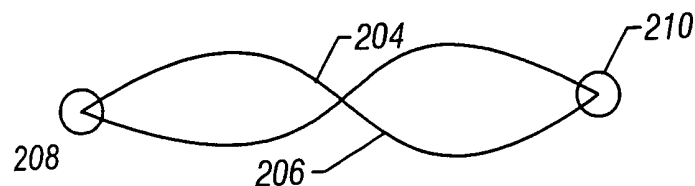


FIG. 15C

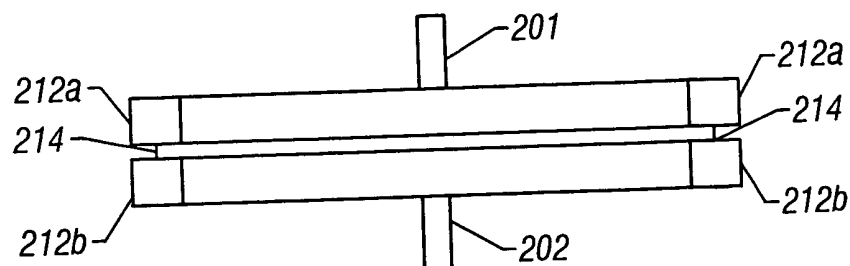


FIG. 15D

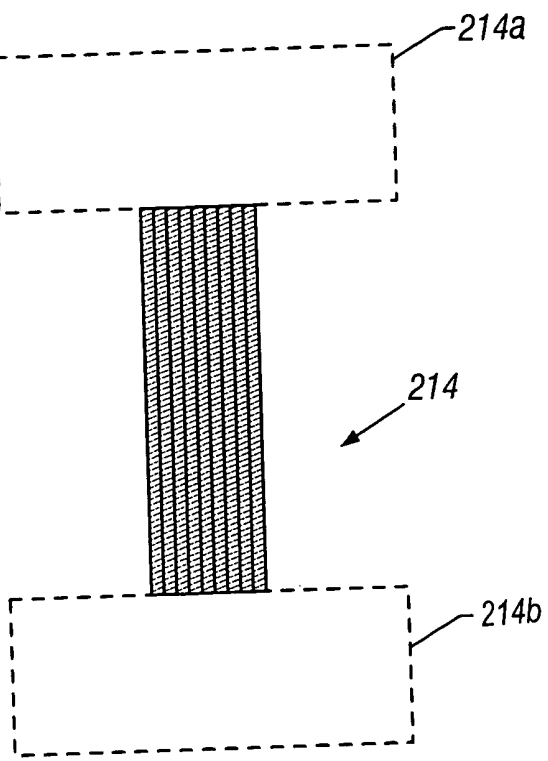


FIG. 15D

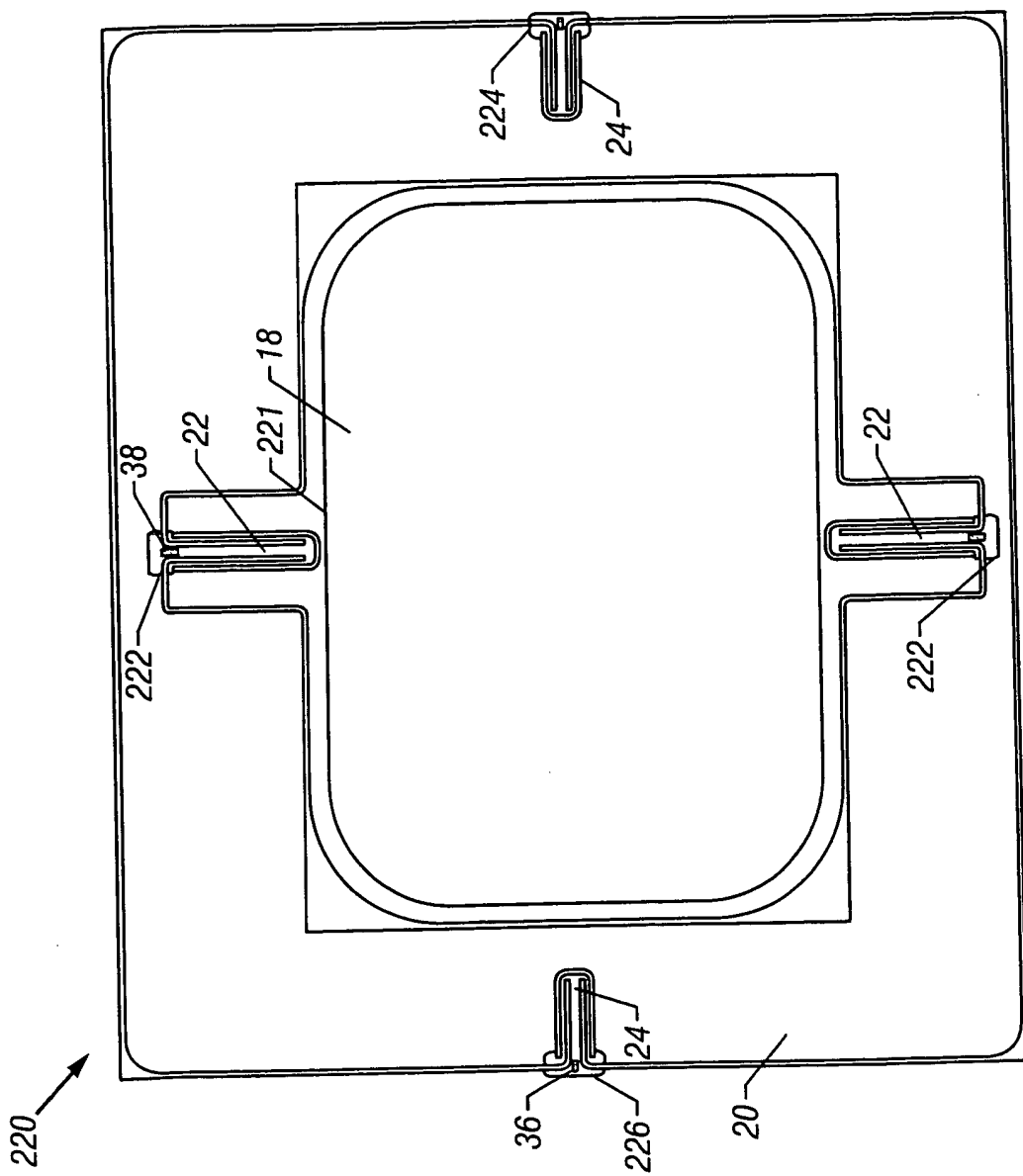


FIG. 16

FIG. 17A

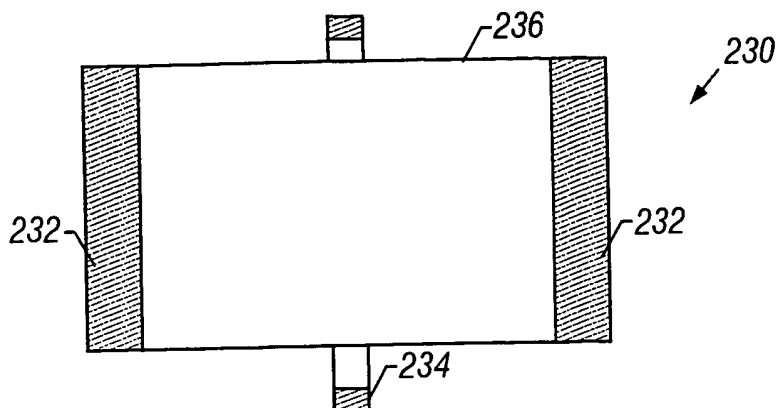


FIG. 17B

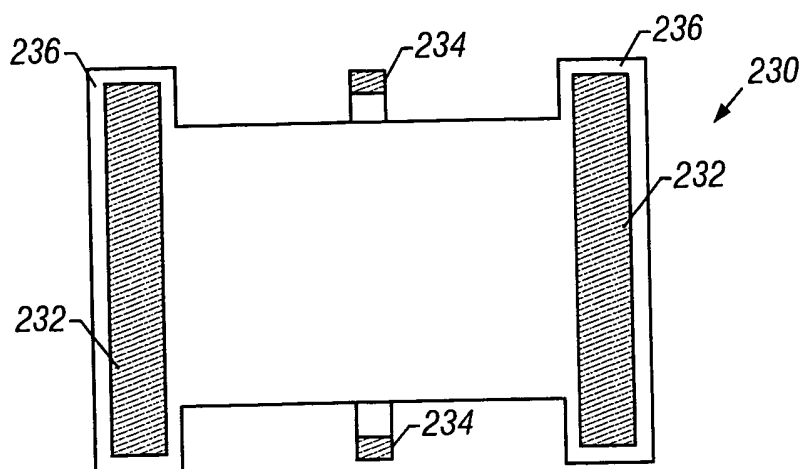
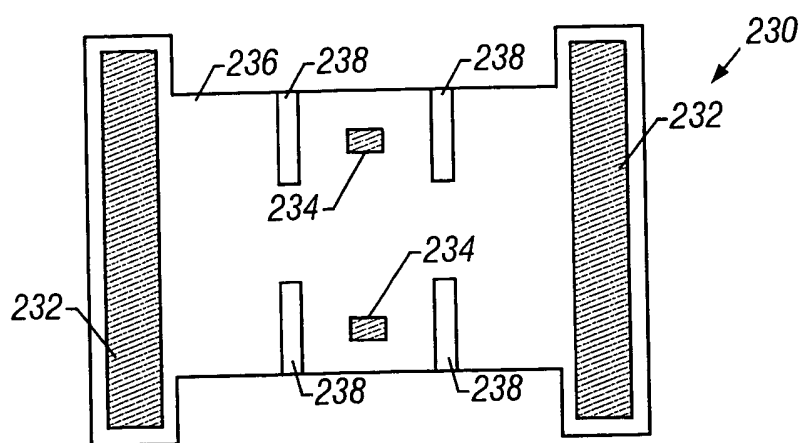
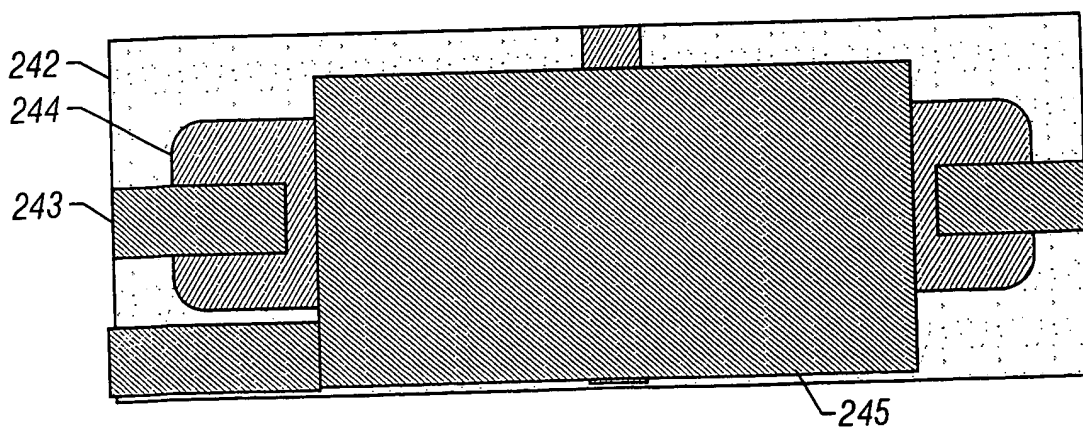
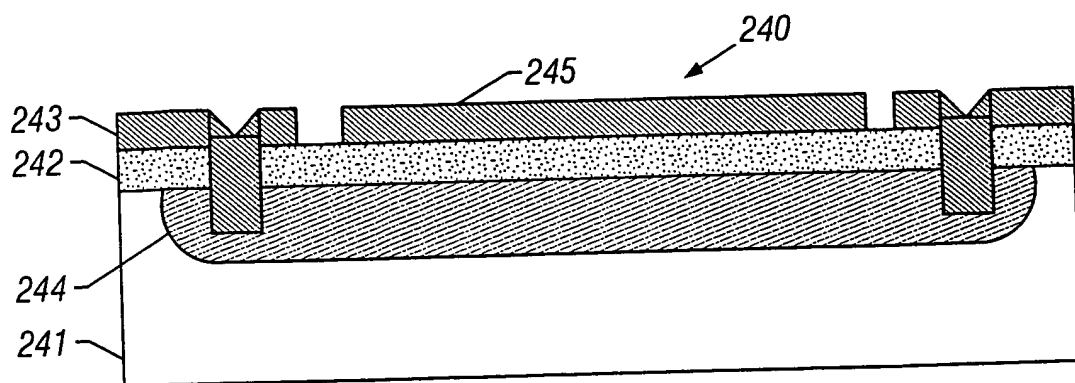
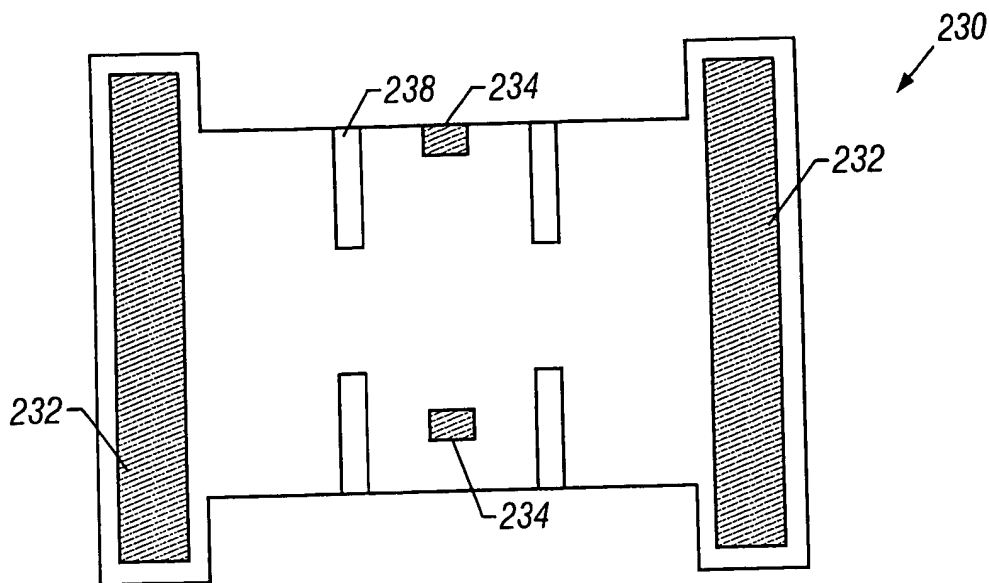


FIG. 17C





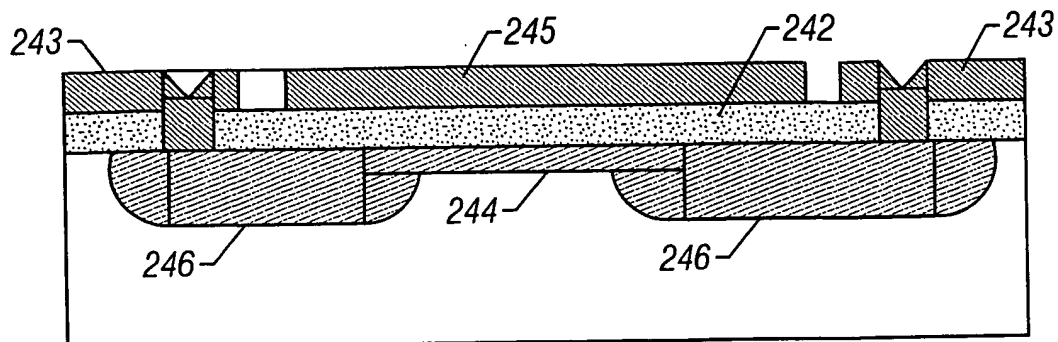


FIG. 18C

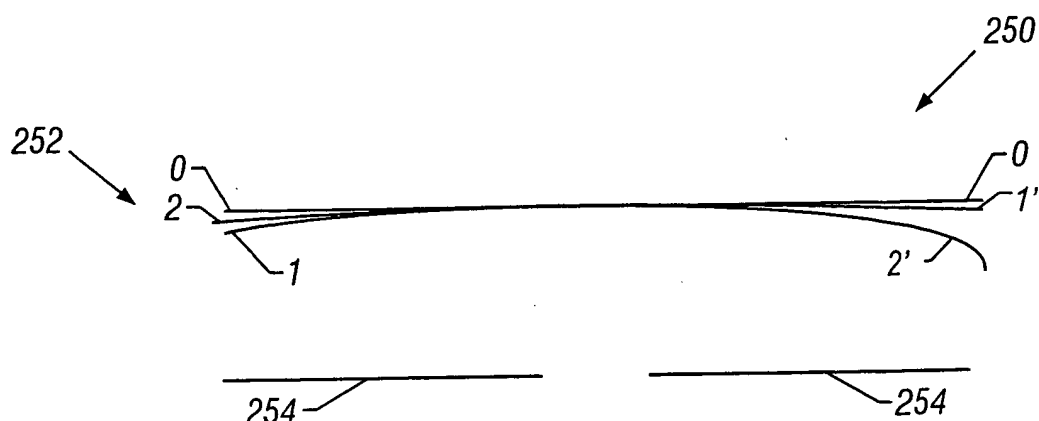


FIG. 19

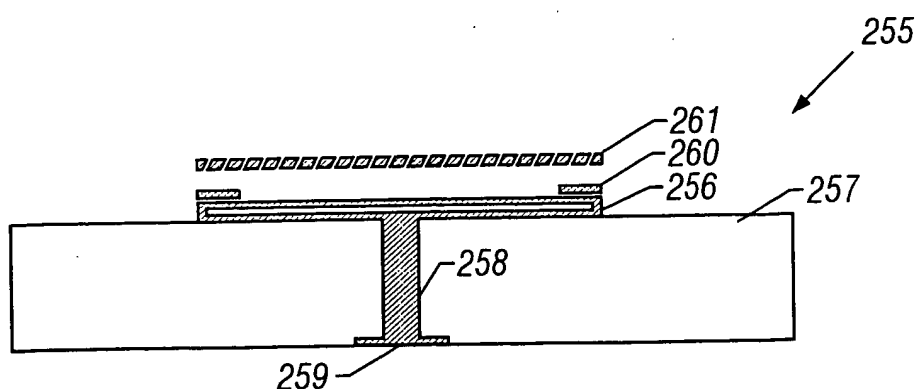


FIG. 20

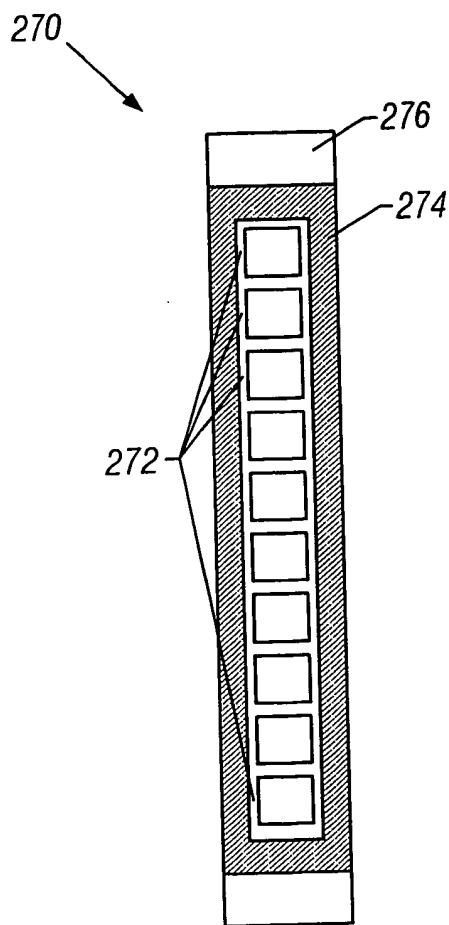


FIG. 21A

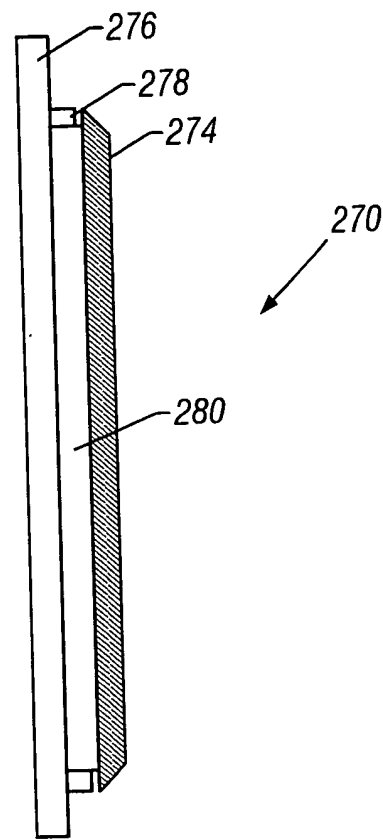


FIG. 21B

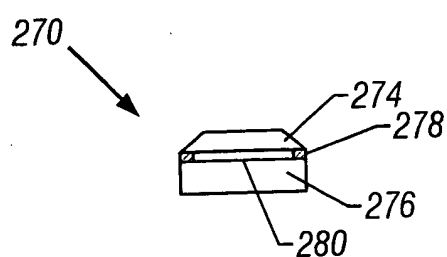


FIG. 21C

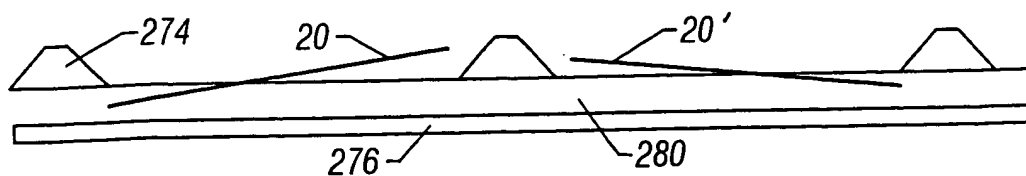


FIG. 22A

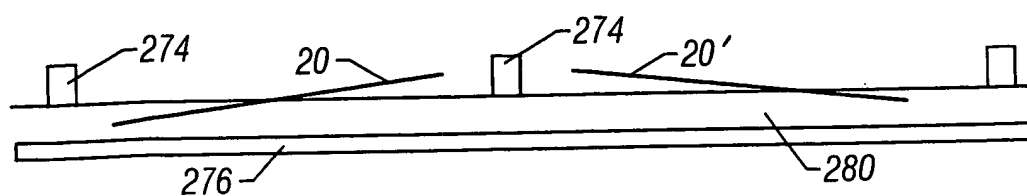


FIG. 22B

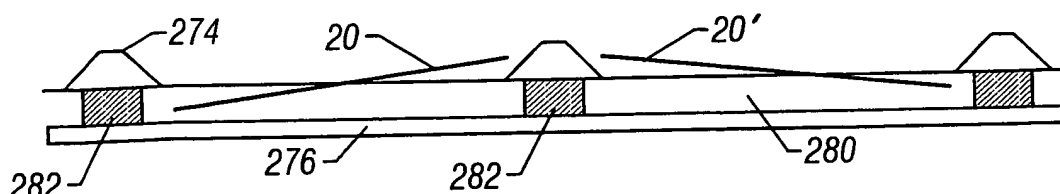


FIG. 22C

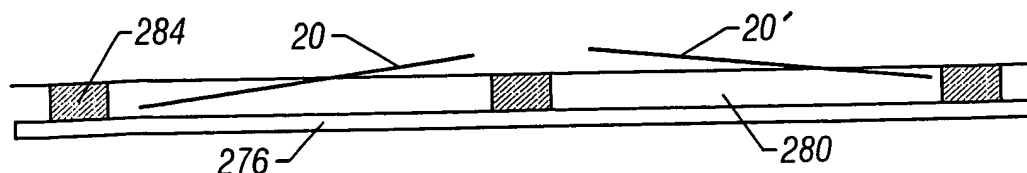


FIG. 22D

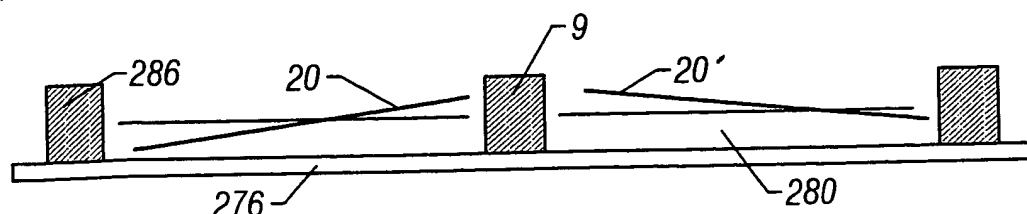


FIG. 22E

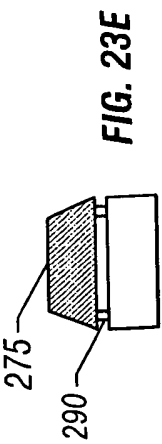


FIG. 23F

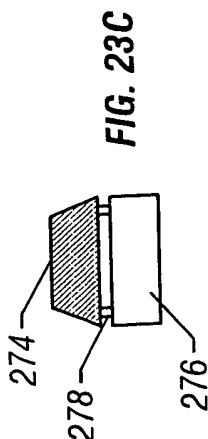
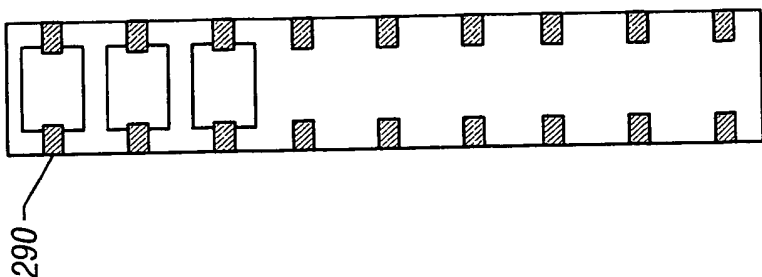


FIG. 23D

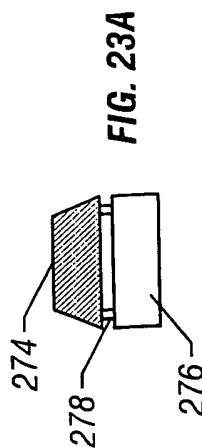
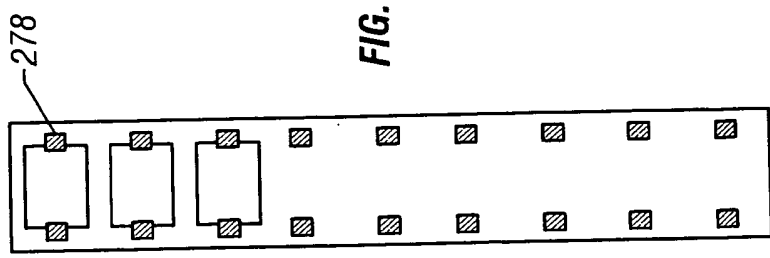
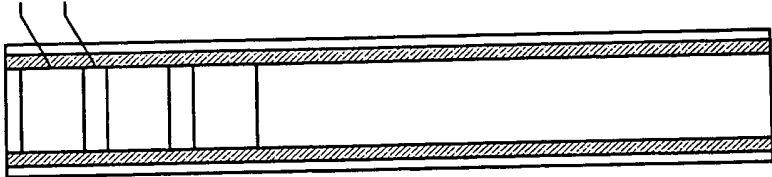


FIG. 23B



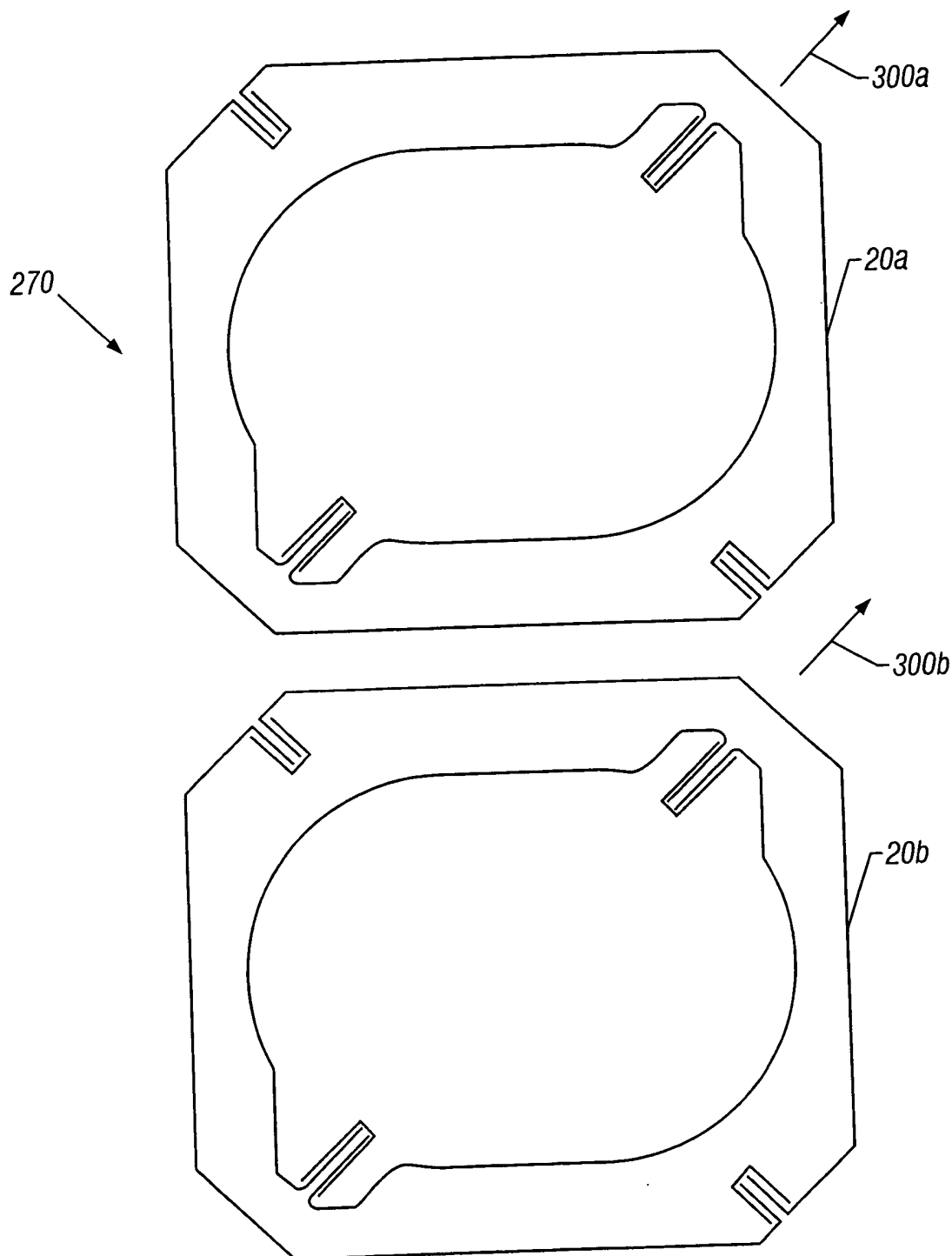


FIG. 24A

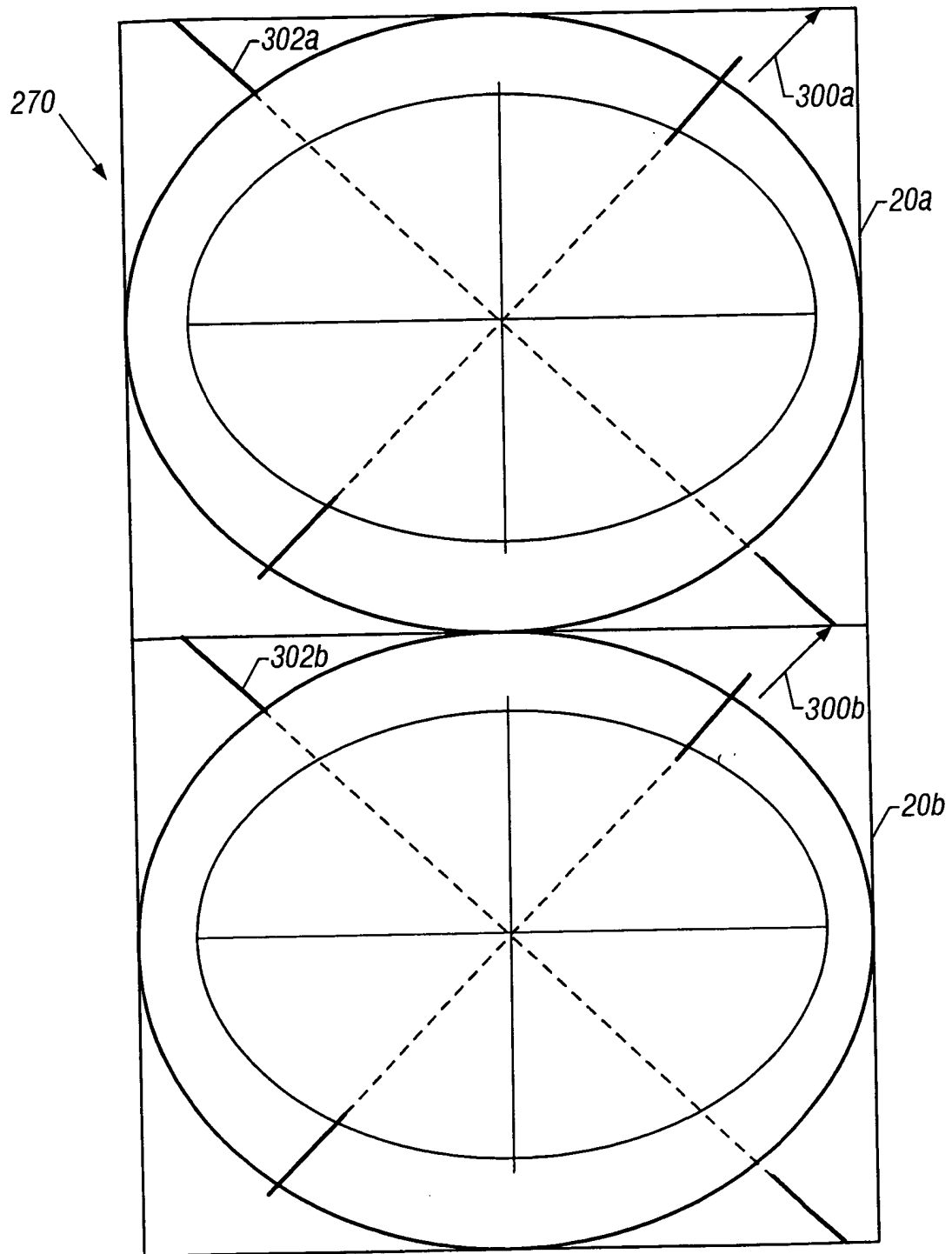


FIG. 24B

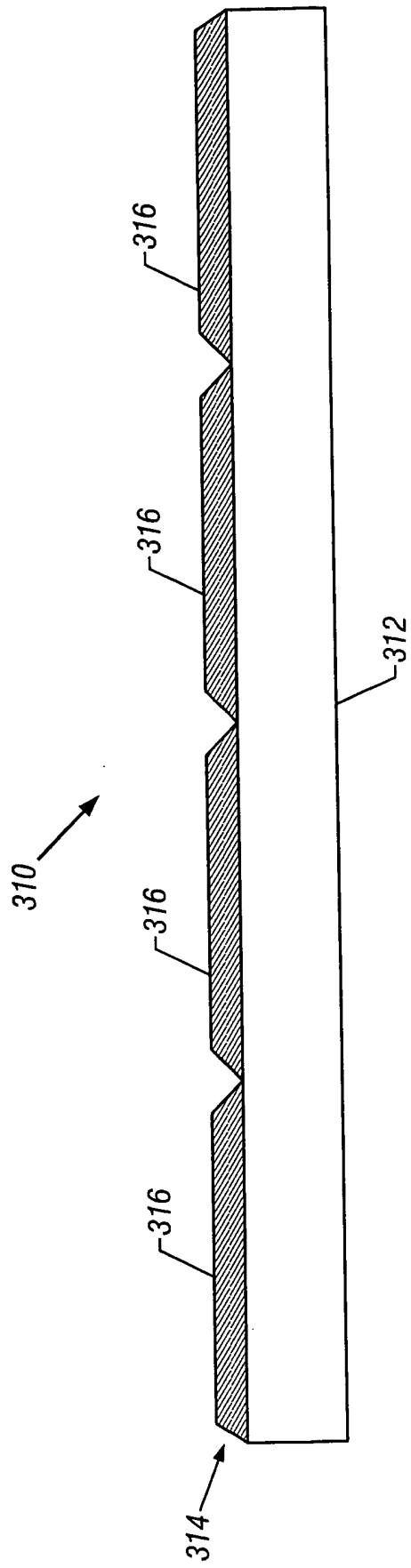


FIG. 25

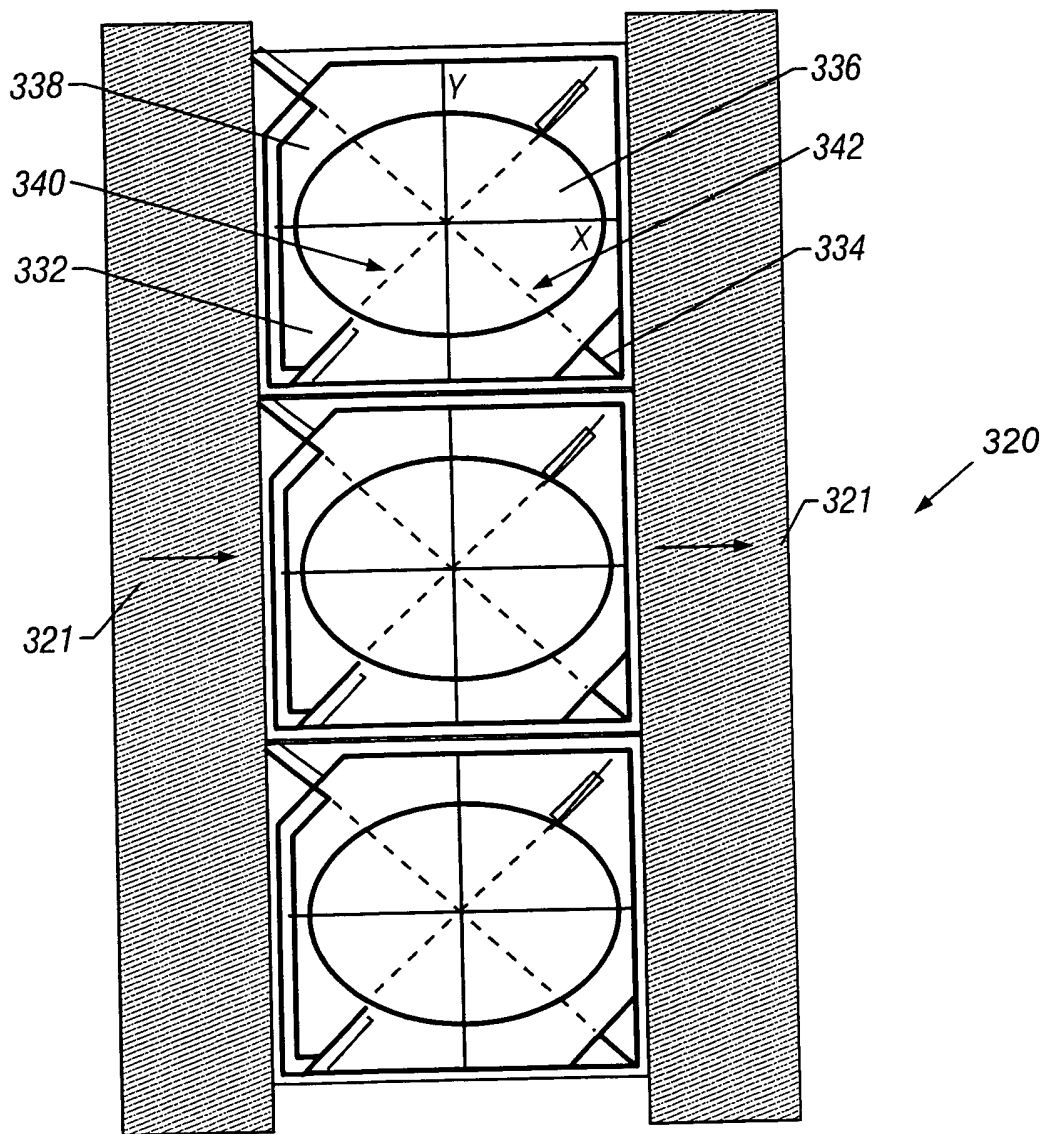


FIG. 26A

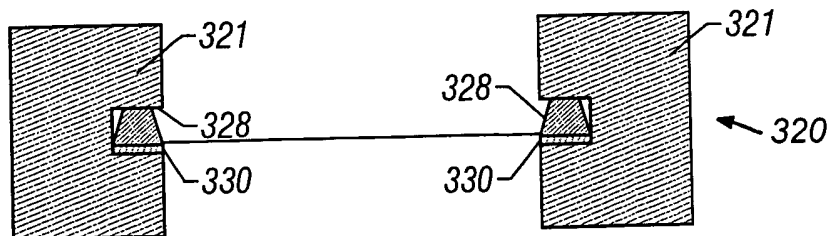


FIG. 26B

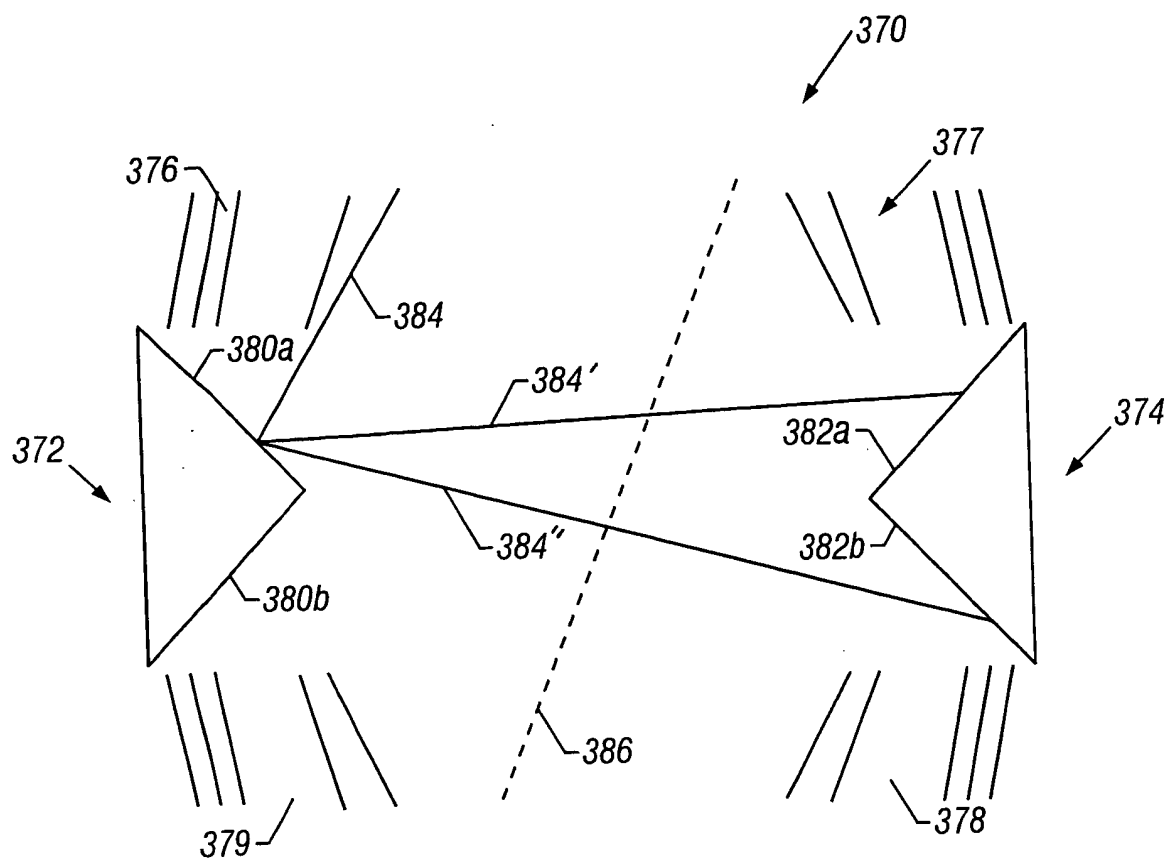


FIG. 27

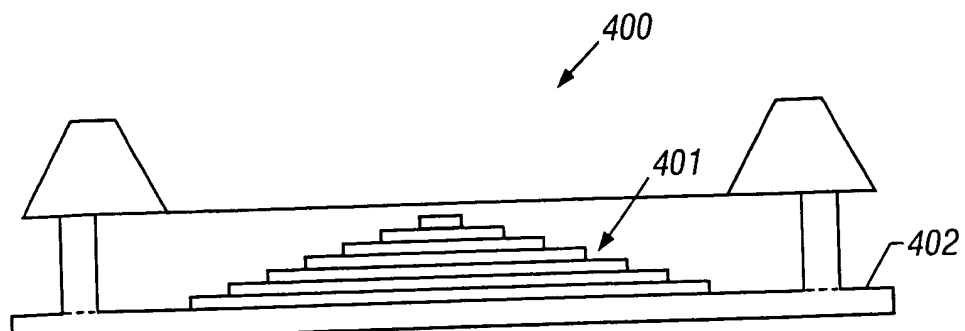


FIG. 28A

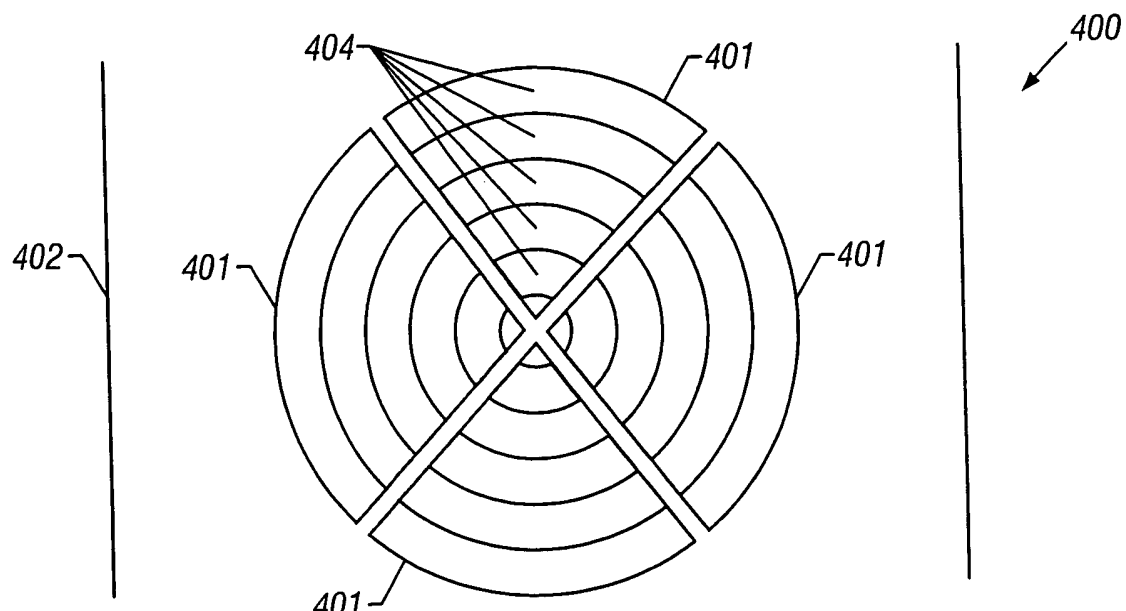


FIG. 28B